

**Proceeding Series of the Brazilian Society of Computational and Applied Mathematics**

---

## Alcateia - Um Novo Algoritmo Para Otimização

Cleber de Almeida Corrêa Junior<sup>1</sup>

Programa de Pós-Graduação em Modelagem Computacional em Ciência e Tecnologia, Instituto do Noroeste Fluminense de Educação Superior, UFF, Santo Antônio de Pádua, RJ,

Rosilene Abreu Portella Corrêa<sup>2</sup>

Programa de Pós-Graduação em Modelagem Computacional em Ciência e Tecnologia, Instituto do Noroeste Fluminense de Educação Superior, UFF, Santo Antônio de Pádua, RJ,

**Resumo.** Técnicas de otimização são objetos de estudo de diversos pesquisadores, visto que determinada técnica pode ser eficiente para um problema e não eficiente para outro. Neste sentido, o desenvolvimento de novos algoritmos para otimização é necessário, especialmente para os problemas de engenharia. Sendo assim, neste trabalho é apresentado um novo algoritmo para problemas de otimização. Trata-se de uma metaheurística populacional baseada no comportamento dos lobos. Com o intuito de validar o método, são realizados alguns testes para minimização de funções não-lineares conhecidas na literatura, obtendo-se resultados que evidenciam o potencial desta nova técnica para problemas mais complexos.

**Palavras-chave.** Alcateia, Otimização, Lobos, Funções Não-Lineares, Metaheurística.

### 1 Introdução

A constante busca humana pelo aperfeiçoamento dos mais variados processos, com o objetivo em alcançar os melhores resultados, defrontam-se, cotidianamente, com a necessidade de se encontrar soluções ótimas, de impor restrições, formalizar as variáveis e objetivos de tal forma que a natureza matemática do problema acaba emergindo. Esse processo de modelagem é o que descreve a semelhança entre a realidade cotidiana e o idealismo dos objetos matemáticos. Ou seja, esse processo de modelagem transcreve as situações do cotidiano em forma matemática com o intuito de observá-la, estudá-la e a aperfeiçoá-la. No contexto supracitado, enquadra-se o presente trabalho.

Sabe-se que as alcateias geralmente são formadas por grupos de 2 a 15 lobos, dependendo do tamanho do seu território, da abundância de comida e de fatores sociais, este número pode ser bem maior, como mostrado em [1, 7], que cita alcateia de 36 membros. Elas possuem uma hierarquia bem definida, assumidas através da postura do lobo, características comportamentais e lutas pela liderança do grupo. Dentro da alcateia há o casal de lobos dominantes o qual são denominados de alfa, os quais são os primeiros a se

---

<sup>1</sup>cleberacj@id.uff.br

<sup>2</sup>rosileneportella@id.uff.br

alimentar e os únicos que podem se reproduzir dentro da alcateia. Na ordem hierárquica ainda há os lobos betas e os lobos ômegas [6].

Durante a caça, o lobo alfa escolhe qual a presa que será abatida naquele momento. Para realizar essa escolha, o lobo alfa visa ou o animal mais velho ou o mais novo ou aquele que está adoentado, ou seja, o lobo alfa busca a presa ótima.

Quando outro lobo pretende tomar a posição de lobo alfa dentro da alcateia, há uma violenta disputa, sendo caracterizada por luta corporal para a escolha do lobo alfa, o alfa será aquele que vencer a disputa [6]. Essas características das alcateias, como será visto, formam a base para a modelagem matemática e computacional que originou o método neste artigo apresentado.

O grande apelo para utilização do algoritmo Alcateia é a sua capacidade de resolução de problemas com inúmeros mínimos (ou máximos) locais. Esta característica dos problemas, encontrados nas mais diversas aplicações, leva grande parte dos algoritmos de otimização a convergirem em direção a ótimos locais, sendo tais algoritmos altamente dependentes das condições iniciais. São inúmeras as potenciais aplicações práticas do Alcateia, entre elas: Identificação de fontes sonoras, identificação de danos estruturais, minimização de custos, resolução de sistemas não-lineares, etc. Exemplos em identificação de danos estruturais podem ser encontrados em [2, 3].

## 2 O Método Alcateia

Sejam dados um conjunto  $D \subset \mathbb{R}^n$  e uma função  $f : \Omega \rightarrow \mathbb{R}$ , onde  $D \subset \Omega$ . Este trabalho é dedicado ao desenvolvimento de uma metaheurística para o problema de achar um minimizador (ou maximizador) de  $f$  no conjunto  $D$ . Podendo, tal problema, ser escrito como:

$$\min f(x) \quad \text{sujeito a } x \in D. \quad (1)$$

Ou seja, o problema consiste em encontrar uma solução  $\bar{x}$ , com  $\bar{x} \in D$ , tal que  $f(\bar{x}) \leq f(x)$ ,  $\forall x \in D$ . Para a resolução do problema supracitado, parte-se da característica comportamental do lobo alfa em basear-se em escolhas plausíveis para a captura da presa com o enfoque no sucesso da caça. Durante a execução do método Alcateia, os lobos estão suscetíveis a mudanças hierárquicas, ou seja, a cada momento será nomeado como lobo alfa aquele que escolher a melhor presa, ou seja, a melhor solução durante aquela iteração. Além disso, há o coeficiente de independência, que faz com que os outros lobos tendam a buscar abater a presa que o lobo alfa está indicando, refinando assim a cada iteração a solução encontrada até chegar à solução ótima para o problema proposto.

O número de laços internos é contraído por uma proporção conforme são executados os laços externos.

Simulando o comportamento dos lobos, podemos dizer que a cada laço interno, o lobo, está reposicionando-se no cerco da sua presa, e a cada laço externo o lobo está indo em direção à presa.

A seguir, apresenta-se, na Figura 1, o pseudo-código do algoritmo Alcateia, com passo-a-passo de seu funcionamento: Nota-se que não há no algoritmo um um critério de parada,

mas pode-se, de acordo com a aplicação, definir algum critério, não havendo necessidade de realização de todos os laços estipulados. Neste trabalho foi adotado, como critério de parada, que quando a maior componente de  $\Delta$  for menor do que a tolerância de  $10^{-7}$  a execução do programa é interrompida. Tal comando foi inserido entre as linhas 24 e 25 do psudo-código apresentado.

O algoritmo foi implementado no software Matlab.

```

(1) Escolha o passo de busca inicial  $\Delta$  // intervalo [a b]
(2) Escolha o número de iterações externas  $L_e$ 
(3) Escolha o número de iterações internas  $L_i$ 
(4) Escolha o número de lobos  $N_{lobos}$ 
(5) Escolha o coeficiente de contração c
(6) Escolha a constante de independência  $i_d$ 
(7) Gerar, aleatoriamente, uma solução inicial  $x_0$ 
(8) para i de 1 até  $L_e$  faça
(9)   aux  $\leftarrow x_0$  // variável auxiliar
(10)   para j de 1 até  $L_i$  faça
(11)     para k de 1 até  $N_{lobos}$  faça
(12)        $x[:,k] \leftarrow x_0[:,k] + \lambda_k * \Delta[:,k]$  //  $\lambda$  é um vetor de números randômicos entre -1 e 1. * é o produto termo-a-termo de vetores.
(13)       se  $f(x[:,k]) < f(x_0[:,k])$  então
(14)          $x_0[:,k] \leftarrow x[:,k]$ 
(15)          $g[k] \leftarrow f(x[:,k])$ 
(16)       fim se
(17)     fim para
(18)   fim para
(19) [fxalfa p]  $\leftarrow \min(g)$  //função min(g) retorna a componente de menor valor de g, fxalfa, e sua posição p
(20) xalfa  $\leftarrow x_0[:,p]$ ;
(21)  $L_i \leftarrow L_i * (1-c)$ 
(22)   para t de 1 até  $N_{lobos}$  faça
(23)      $x_0[:,t] \leftarrow (i_d * x_0[:,t] + xalfa) / (i_d+1)$ 
(24)      $\Delta[:,t] \leftarrow |x_0[:,t] - aux[:,t]|$ 
(25)   fim para
(26) fim para

```

Figura 1: Pseudo-código do Alcateia.

No algoritmo Alcateia,  $x$  é uma matriz, onde as colunas  $x(:, k)$  representam os lobos. Em outras palavras,  $x(:, k)$  são as variáveis que receberão as possíveis soluções ótimas (presas) para os problemas avaliados.

### 3 Resultados

São apresentados alguns experimentos numéricos, realizados em funções conhecidas na literatura (Rosenbrock, Ackley, Eggholder e Drop-Wave), evidenciando a eficiência do algoritmo Alcateia. Para todos os experimentos o algoritmo Alcateia teve a mesma configuração, com exceção do raio da busca inicial  $[a, b]$ , que varia de acordo com a restrição de domínio de cada função. Tal configuração está apresentada na Tabela 1:

A primeira função analisada foi a de Rosenbrock [5], apresentada na Figura 2,

$$f(x) = 100(x_2 - x_1^2)^2 + (x_1 - 1)^2, \quad (2)$$

Tabela 1: Configuração utilizada para o algoritmo alcateia.

Nome	Constante	Valor
Número de lobos	$N_{lobos}$	10
Número de variáveis	$N_v$	2
Coefficiente de contração	$c$	0.1
Número de laços externos	$L_e$	100
Número de laços internos	$L_i$	5000
Tolerância utilizada	$tol$	$10^{-7}$
Constante de independência	$i_d$	4

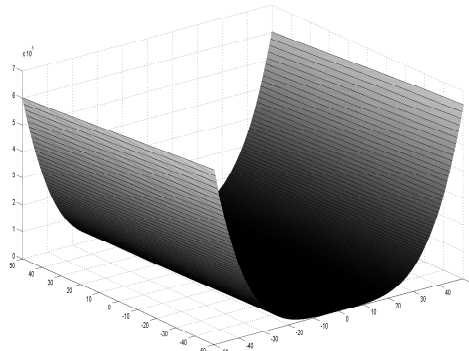


Figura 2: Função de Rosenbroc.

com  $-50 \leq x_1, x_2 \leq 50$ . Neste caso o raio de busca inicial do Alcateia é o intervalo  $[-50, 50]$ .

A segunda função analisada foi a de Ackley [5], apresentada na Figura 3,

$$f(x) = -20e^{(-0.2\sqrt{\frac{1}{2}\sum_{i=1}^2 x_i^2})} - e^{(\frac{1}{2}\sum_{i=1}^2 \cos(2\pi x_i))} + 20 + e, \quad (3)$$

com  $-32 \leq x_1, x_2 \leq 32$ . Para esta função o raio de busca inicial do Alcateia é o intervalo  $[-32, 32]$ .

A terceira função analisada é a de Eggholder [5], vista na Figura 4,

$$f(x) = -(x_2 + 47) \sin\left(\sqrt{|x_2 + \frac{x_1}{2} + 47|}\right) - x_1 \sin\left(\sqrt{|x_1 - (x_2 + 47)|}\right), \quad (4)$$

com  $-512 \leq x_1, x_2 \leq 512$ . Sendo agora o raio de busca inicial do Alcateia o intervalo  $[-512, 512]$ .

A última função analisada é a de Drop-Wave [4], apresentada na Figura 5,

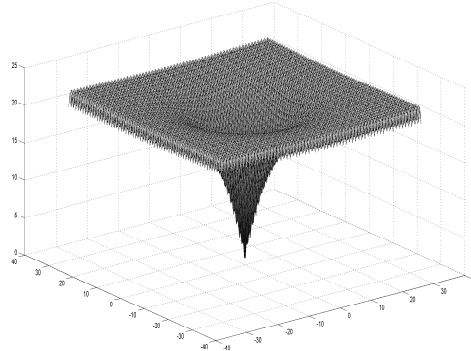


Figura 3: Função de Ackley.

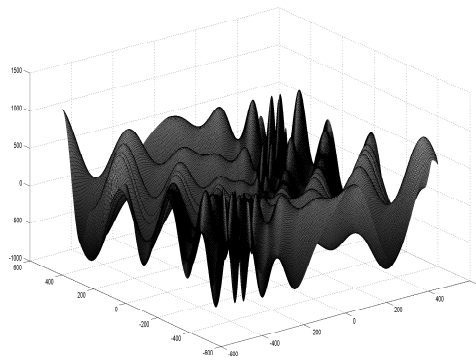


Figura 4: Função de Eggholder.

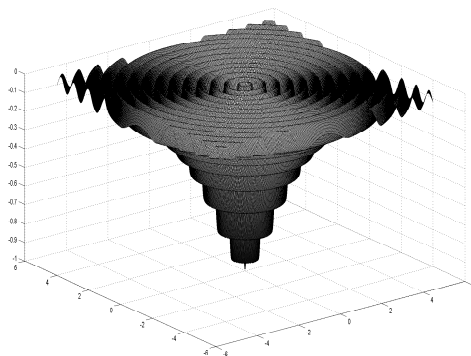


Figura 5: Função Drop-Wave.

$$f(x) = -\frac{1 + \cos(12\sqrt{(x_1^2 + x_2^2)})}{0.5(x_1^2 + x_2^2) + 2}, \quad (5)$$

com  $-5.12 \leq x_1, x_2 \leq 5.12$ . Sendo agora o raio de busca inicial do Alcateia o intervalo  $[-5.12, 5.12]$ .

Na Tabela 2 são apresentadas, para as funções supracitadas, os pontos de mínimo global (analíticos) e os resultados obtidos pelo alcateia.

Tabela 2: Resultados analíticos e via alcateia.

Nome	Mínimo analítico	Mínimo via alcateia
Rosenbroc	$f(1, 1) = 0$	$f(1, 1) = 0$
Ackley	$f(0, 0) = 0$	$f(1.8146 \times 10^{-15}, 0.5378 \times 10^{-15}) = 4.4408 \times 10^{-15}$
Eggholder	$f(512, 404.2319) = -959.6407$	$f(512, 404.2318) = -959.6406$
Drop-Wave	$f(0, 0) = -1$	$f(-898.0081 \times 10^{-12}, 617.4371 \times 10^{-12}) = -1$

Para todas as funções supracitadas, o algoritmo alcateia foi executado 50 vezes, com o intuito de uma análise de robustez, encontrando o mínimo global em todas as 50 execuções realizadas para cada função. Evidencia-se assim, conforme apresentam os resultados obtidos para os mínimos das funções testadas, o seu potencial para problemas mais complexos, como os apresentados por [2, 3].

## 4 Conclusões

O presente trabalho propôs uma nova metaheurística baseada no comportamento dos lobos, a qual obteve ótimos resultados para as funções testadas, evidenciando seu potencial. Como sequência deste trabalho pretende-se avaliar o desempenho do algoritmo Alcateia em relação a busca de ótimos em problemas de contexto multi-objetivo e/ou em problemas de engenharia.

## Agradecimentos

Os autores agradecem a Universidade Federal Fluminense pelo apoio concedido.

## Referências

- [1] L. Boitani and P. Ciucci, Comparative social ecology of feral dogs and wolves. *Ethology Ecology & Evolution*, volume 7, pages 49–72, 1995. DOI: 10.1080/08927014.1995.9522969

- [2] R. A. P. Corrêa, L. T. Stutz, e R. A. Tenenbaum, Identificação de danos estruturais em placas baseada em um modelo de dano contínuo, *Revista Internacional de Métodos Numéricos para Cálculo y Diseño en Ingeniería*, volume 31, pages 58–64, 2015. DOI: 10.1016/j.rimni.2014.11.004
- [3] R. A. P. Corrêa, L. T. Stutz, and R. A. Tenenbaum, The Differential Evolution method applied to continuum damage identification via flexibility matrix. *Journal of Sound and Vibration*, volume 345, pages 86–102, 2015. DOI: 10.1016/j.jsv.2015.01.049
- [4] M. Farahani, S. B. Movahhed and S. F. Ghaderi, A hybrid meta-heuristic optimization algorithm based on SFLA, *Proceedings of the 2<sup>nd</sup> International Conference on Engineering Optimization*, Lisboa, Portugal, volume 1, pages 1–8, 2010.
- [5] M. Jamil and X. Yang, A literature survey of benchmark functions for global optimization problems, *Int. Journal of Mathematical Modelling and Numerical Optimisation*, volume 4, No. 2, pages 150–194, 2013. DOI: 10.1504/IJMMNO.2013.055204
- [6] L. D. Mech, Alpha status, dominance, and division of labor in wolf packs, *Canadian Journal of Zoology*, volume 77, pages 1196–1203, 1999. DOI: 10.1139/z99-099
- [7] D. W. Smith, R. O. Peterson, and D. B. Houston, Yellowstone after Wolves. *BioScience*, volume 53, pages 330–340, 2003. DOI: 10.1641/0006-3568(2003)053[0330:YAW]2.0.CO;2